

SEISMIC ISOLATION SYSTEMS FOR REDUCING THE DYNAMIC RESPONSE OF THE ELEVATED WATER TANKS

Issam Nasser

Professor, Department of Structural Engineering, Faculty of Civil Engineering, Tishreen University, lattakia, Syria.

Email : i.nasser90@yahoo.com .

(Received August 17, 2011 Accepted September 15, 2011)

This research discusses the seismic response of the elevated water tanks which is represented by the base shear forces, displacements and bending moment values, and also studying the dynamic characteristic for this type of especial structures, such as the period and frequencies of vibration , all these are done by dynamic analysis for 3-D mathematical models according to response spectrum ,with considering the fluid-structure interactions by representing this fluid with spring-two masses equivalent system: impulsive and convective masses .This analysis has been done by SAP 2000 program . This research involves studying the effect of friction pendulum system (FPS) in dissipating the vibration energy caused by seismic effects on the elevated tanks, and the influence to the response and dynamic specifications values. Also, in this paper the seismic behavior of these elevated tanks which are supplied by tuned mass damper has been evaluated.

A reinforced concrete- elevated water tank has been analyzed and the dynamic analysis results of these seismic isolated tanks showed that the displacements, base shear forces and bending moment generally decreased

KEYWORDS : elevated water tanks; Fluid -structure interaction; passive control; Seismic isolation; Friction pendulum system; tuned mass damper

فاعلية نظامي العزل الزلزالي : البندول الاحتکاکی (FPS) و محمد الكتلة المنسجمة في تخفيض قيم الاستجابة الديناميكية لخزانات المياه العالية (TMD)

الدكتور المهندس عصام ناصر

أستاذ في قسم الهندسة الإنسانية- كلية الهندسة المدنية- جامعة تشرين- اللاذقية- سوريا.

Email : i.nasser90@yahoo.com

الملخص

يتناول البحث مسألة الاستجابة الزلزالية لخزانات المياه العالية المتمثلة بقيم قوى القص عند مستوى القاعدة ، الإزاحات و عزوم الانحناء ، وكذلك دراسة الخصائص الديناميكية لهذا النوع من المنشآت الخاصة كالزمن الدورى و تردد الاهتزاز وذلك بطريقة التحليل الديناميكي لنماذجها الرياضية الثلاثية الأبعاد و فق طيف استجابة . معأخذ التفاعل المتبدال بين السائل المخزن و المنشأ ، يتمثيل هذا السائل بنموذج رياضي مكون من زنبرك و كتلتين مكافقتين: دفعية و حملية. هذا التحليل تم بمساعدة البرنامج الهندسي SAP 2000 . و يتضمن البحث دراسة فاعلية إحدى أنظمة العزل عند مستوى القاعدة المتمثل بغازل البندول الاحتکاکی (FPS) في تبديد طاقة الاهتزاز

الناتجة عن التأثيرات الزلزالية على منشآت الخزانات العالية و بالتالي بيان مدى انعكاس ذلك على قيم الخصائص الديناميكية لهذه المنشآت المعزولة قاعدياً و قيم الاستجابة الزلزالية. كما تطرق البحث إلى تقييم السلوك الزلزالي لهذه الخزانات المزودة بنظام محمد الكتلة المنسجمة (TMD) و أثر ذلك على قيم الاستجابة الديناميكية و قيم الترددات وأشكال الاهتزاز . قدم البحث مثلاً تطبيقياً على خزان ماء عالي من الخرسانة المسلحة ، و قد أظهرت نتائج التحليل الديناميكي لهذا للخزان المعزول زلزاليًا تتفاوت في قيم الإزاحات ، القص عند مستوى القاعدة و عزوم الانحناء .

الكلمات المفتاحية : خزانات المياه العالية ، تفاعل سائل - منشأ ، التحكم السلبي ، العزل الزلزالي ، عازل البندول الاحتكاكى ، محمد الكتلة المنسجمة .

- مقدمة:

تعتبر خزانات المياه العالية من المنشآت الحيوية الهامة في الحياة العملية نظراً لكونها أحد مصادر الإمداد المائي الذي يعتبر أساسياً للتزويد بمياه الشرب وإطفاء الحرائق التي يمكن أن تتشعب أثناء وقوع الزلزال و التي قد تسبب خسائر بشرية و مادية كبيرة ، إضافة إلى استخدامها في تخزين المواد السائلة كالنفط و الغاز و المواد الصلبة الأخرى . لذلك ينبغي أن تبقى هذه الخزانات في نطاق الخدمة حتى ما بعد حدوث الزلزال لضمان التزويد بالمياه و بالمواد الأخرى في المناطق المنكوبة .

كما تمتلك هذه المنشآت خاصية مميزة من حيث سلوكها الإنسائي تحت تأثير أفعال الزلزال و قدرة تبديد طاقة أدنى من الأبنية التقليدية نظراً لاحتواها على مواد سائلة حيث تخضع هذه المنشآت لقوى الهيدروديناميكية أثناء التحريرض الزلزالي الجاني الأمر الذي قد يصعب معه التنبؤ بسلوكها الفعلى أثناء الحدث الزلزالي إضافة إلى ذلك كافية تغير كتلة السائل الفعالة ، التي ينبغيأخذها بعين الاعتبار أثناء التحليل الديناميكي . و أيضاً ماتملمه جملها الإنسانية من مواصفات هندسية مثل عدم التأثر من حيث توزع الكتل و الصلالات .

من هنا جاءت فكرة دراسة هذا النوع من المنشآت الخاصة حيث أوصلت معظم الكوادر الزلزالية الخاصة بها باتخاذ احتياطات و تدابير أكثر صرامة لمقاومة القوى الزلزالية من حالة الأبنية و بمنفذة القوى الهيدروديناميكية أثناء التحليل [1] بهدف الحفاظ على أمانها و استقرارها بما يتناسب مع ظروف المخاطر الزلزالية المتوقعة يحدث في المنطقة ، و هذا ممكن بفهم السلوك الزلزالي الفعلى و تعين مقادير الاستجابة الديناميكية لها أثناء الحدث الزلزالي . و للتقليل من قيم الاستجابة هذه ستعتمد الدراسة على خاصية نظام العزل عند مستوى القاعدة باستخدام عازل البندول الاحتكاكى (FPS) الذي يقوم على مبدأ اعتراض طاقة الزلزال قبل أن تقوم بتصدم قاعدة الخزان و امتصاص جزء كبيراً منها و بالتالي الحد من كمية الطاقة المتسربة إلى المنشأ . كما سنتم المقارنة مع فاعلية نظام محمد الكتلة المنسجمة (TMD) في تبديد الطاقة المنتقلة إلى خزانات المياه العالية عن طريق حدوث ظاهرة الرنين في الكتلة بدلاً من حدوثها في المنشآت .

- أهمية البحث و أهدافه

تكمّن أهمية البحث في بيان السلوك الفعلى لخزانات المياه العالية و في تقدير الكتلة المساهمة الفعالة للسائل المخزن فيها أثناء الحدث الزلزالي ، و بإجراء التحليل الديناميكي لنماذجها الإنسانية الثلاثية الأبعاد بمساعدة البرنامج الهندسي SAP 2000 [2] ، وفق طيف استجابة سيتم تصميمه اعتماداً على المعاملات الزلزالية و نموذج مقطع التربة الخاصة بموقع المنشآت المدروساً . وذلك قبل استخدام نظام العزل عند مستوى القاعدة (FPS) و بعده من جهة ، و دراسة مقادير الاستجابة الديناميكية لهذه النماذج عند استخدام محمد الكتلة المنسجمة (TMD) .

و يهدف البحث إلى بيان مدى فاعلية عازل البندول الاحتكاكى (FPS) في امتصاص طاقة الاهتزاز المتولدة بفعل الزلزال و كذلك قدرة محمد الكتلة المنسجمة (TMD) على تبديد هذه الطاقة ضمن المنشآت و ما مدى انعكاس ذلك على تخفيض قيم الاستجابة الديناميكية لخزانات المياه العالية المتمثلة بالقص عند مستوى القاعدة ، الإزاحات ، و عزوم الانحناء .

- طريقة البحث

سنستعرض فيما يلي كيفية اختيار النموذج الرياضي لخزانات المياه العالية بما فيها تقدير كتلة السائل عند إجراء التحليل الديناميكي لهذا النوع من المنشآت الخاصة تحت الأحمال الزلزالية . كما سنوضح مبدأ العزل عند مستوى القاعدة باستخدام عازل البندول الاحتكاكي وال العلاقات الرياضية الخاصة بتصميمه كما سنتطرق إلى مفهوم محمد الكتلة المنسجمة وخصائصه و مجال استخدامه .

1 - التحليل الديناميكي و النموذج الرياضي للخزانات العالية

سنعتمد في التحليل الديناميكي للخزانات العالية على البرنامج الهندسي SAP 2000 و ذلك من خلال النموذج الرياضي الفراغي لها قبل عزلها زلزالياً بنظام FPS و بعده عن طريق الأمر Isolator2 المخزن بالبرنامج والذي يمثل نموذج عزل احتكاك بندولي ثانوي المحور يربط بين خواص الاحتكاك من أجل تشوهات القص و صلابة الانزلاق المرتبطة باتجاهات القص بسبب نصف قطر البندول للسطح المنزلاق ، و خواص الصلابة الفعالة الخطية . يستند نموذج الاحتكاك على السلوك الهستيري (hysteretic) و ينصب به لمنفذة قواعد العزل حيث تتناسب قوى الاحتكاك و قوى البندول مباشرة مع قوة الضغط المحورية في العنصر و لا يتحمل العنصر قوى شد محورية . و كذلك عند عزل الخزان بنظام TMD الذي يقوم على إضافة كتلة إلى النموذج الرياضي في أعلى الخزان بواسطة عنصر له صلابة معلومة . سنجري الدراسة لحالة الخزان فارغ وملؤ معأخذ تفاعل السائل و المنشأ بعين الاعتبار حيث سيتم تمثيل كتلة السائل استناداً إلى المراجع [4 , 3] ، هذا التحليل سيتم إنجازه و فقاً لطيف الاستجابة الوارد في الملحق الثاني لل kod العربي السوري و الموافق لطيف الكود الأمريكي ASCE 7 [5] الخاص بالتصميم الزلزالي للمنشآت بما فيها الخزانات العالية والذي ستفهم بتصميمه اعتماداً على المعاملات الزلزالية و نموذج مقطع تربة التأسيس الخاصة بالمنطقة . فكما هو معلوم إن التحليل وفق طيف الاستجابة يبحث عن قيم الاستجابة العظمى المتوقعة من حل معادلات التوازن الديناميكي التالية الخاصة بحركة المنشآت الخاضع لحركة أرضية :

$$[M]\{dd\ddot{u}\}(t) + [C]\{d\ddot{u}\}(t) + [K]\{u\}(t) = [M]\{d\ddot{y}_g\}(t) \quad (1)$$

حيث : $[M]$ ، $[C]$ ، $[K]$ - مصفوفات الكتلة ، التخادم و الصلابة للمنشأ المدروس
 $\{d\ddot{u}\}$ ، $\{d\ddot{u}\}$ ، $\{u\}$ - التسارع ، السرعة و الانقال بالنسبة للأرض
 $\{d\ddot{y}_g\}$ - شعاع تسارع الحركة الأرضية

سنعتمد التحليل الديناميكي وفق أشعة Ritz vector نظراً لدقة النتائج التي تعطيها مقارنة مع التحليل وفق القيم الذاتية ، و سنعتمد معامل تخادم قدره $\alpha = 5\%$ من التخادم الحرج .
عندما يتعرض الخزان الحاوي على سائل إلى هزة أرضية بفعل الزلزال فإن هذا السائل يولد ضغطاً هيدروديناميكياً دفعياً (Impulsive) و حملياً (Convective) على جدران الخزان بالإضافة إلى الضغط الهيدروستاتيكي [4 , 5 , 6].

المركبة الدفعية تتتمثل بكلة السائل في المنطقة السفلية من الخزان التي تنتقل بانسجام مع منشأة الخزان عند تردد قصير نسبياً (أقل من 1 ثانية) و المركبة الحملية تساهم بها كتلة السائل في المنطقة العلوية التي تتعرض لحركة اضطرابية بتردد اهتزاز يمكن أن يزيد على 10 ثانية [6] .

يقترح الكود الزلزالي الهندي أن يتم تمثيل الخزانات العالية كجملة بدرجة حرية واحدة بمعنى آخر جملة بكلة واحدة عند التحليل ، حيث يعتبر أن كتلة السائل الكلية تساهم في النمط الدفعي للاهتزاز (impulsive mode) و تنتقل مع جدار الحوض [7] . لكن هذا الافتراض قد يكون منطقياً لأجل أحواض الخزانات الطويلة والتحففة التي لها نسبة الارتفاع إلى نصف القطر تزيد عن أربعة . أيضاً ينص ACI 371R-98 [8] على أن يتم استخدام نموذج ذات كتلة مجتمعة و ذلك عندما تشكل حمولة الماء (W_S) 80% أو أكثر من حمولة الجاذبية الكلية (W_G) ، التي تتضمن الحمولة المبنية الكلية فوق القاعدة ، حمولة الماء و 25% من الحمولة الحية على أرضية الخزان . لأجل هذا النموذج تحدد الصلاية الجانبية على الانحناء لليكل الحامل (k_s) من سهم الهيكل الخرسانية الحامل الممثل كعمود كابولي [8 , 3] :

$$k_s = \frac{3EI_c}{L_{CG}^3} \quad (2)$$

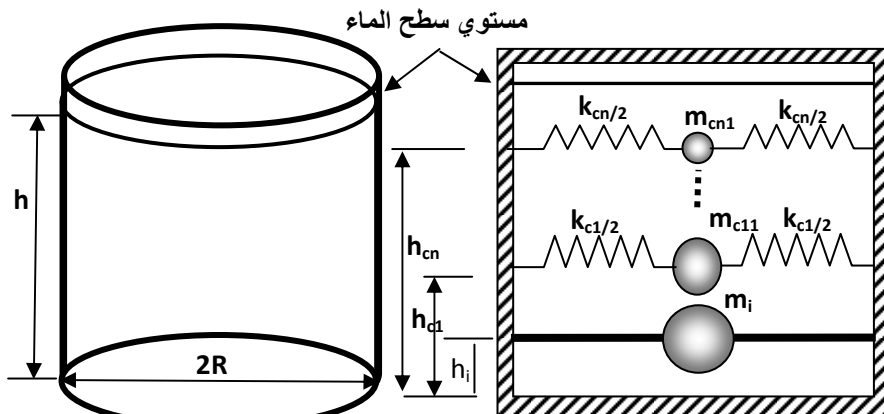
حيث : L_{CG} - ارتفاع المركز الوسطي للماء المخزن عن القاعدة
 E_C - معامل مرونة المادة و عزم قصور المقطع العرضي حول المحور الوسطي.
الزمن الدوري الأساسي للاهتزاز T ينبغي تقديره في حالة الخزانات العالية وفق الصيغة الآتية [8,4] :

$$T = 2\pi \sqrt{\frac{W_L}{g k_s}} \quad (3)$$

- الكتلة المجمعة لوزن المنشأ و التي تتكون وفقاً لـ ACI 371R من : الوزن الذاتي للخزان - 66% من الوزن الذاتي المنشأ الخرساني الحامل وزن الماء ، g - تسارع الجاذبية الأرضية.

2- تفاعل السائل مع المنشأ

يمكن نمذجة التفاعل المتبادل بين السائل والمنشأ بمقاربات مختلفة [4] منها : الكتلة المضافة (added mass approach) حيث تتم إضافة الكتلة المكافئة للسائل إلى كتلة المنشأ عند السطح البياني بين السائل و المنشأ و يفترض هنا أن الكتلة المضافة تهتز بشكل متزامن مع المنشأ لذلك يتم تعديل مصفوفة الكتلة للمنشأ فقط بينما تبقى مصفوفتي الصلابة و التحامد له على حاليهما دون تغيير ، نموذج عنصر محدد (FEM) [9] مقاربة لاغرانج أويلر (Eulerian approach-Lagrangian) أو بطرق تحليل مبسطة كطريقة الكود الأوروبي - 8 [10] . حيث تم تقييم و مقارنة نتائج هذه الطرق في المرجع [3] . يقترح العديد من المراجع و التي منها [3 , 10] أنه يمكن تمثيل السلوك الديناميكي للسائل بشكل تقريري بنموذج مكون من كتلة دفعية m_i (Impulsive mass) تتصل بشكل صلب مع المنشأ و كتل حملية m_c (Convective masses) (مكافأة تتصل بزنبرك كما هو وارد بالشكل (1) . كما تشير هذه المراجع إلى إمكانية استخدام الكتلة الحملية الأولى فقط لأجل التصميم العملي لهذه الخزانات و بذلك يصبح النموذج الرياضي المعبر عن هذا السلوك مكون من كتلتين فقط : كتلة السائل الدفعية و كتلته الحملية حيث يفترض أن هاتين الكتلتين غير مترابطتين عند تقييم القوى الزلزالية . العلاقات الخاصة بحساب هاتين الكتلتين المكاففتين ، مكان توضعيهما و صلابة الزنبرك الذي يربط الكتلة الحملية بجدار حوض الخزان هي [11] : [10 , 3]



الشكل (1) - تمثيل خزانات المياه الأسطوانية بجملة كتلة وزنبرك

- كتلة السائل الدفعية : $m_i = m_w \frac{\tanh(1.74 R/h)}{(1.74 R/h)}$ (4)

- كتلة السائل الحمليه : m_c

$$m_c = m_w \cdot 0.318 \frac{R}{h} \tanh\left(1.84 \frac{h}{R}\right) \quad (5)$$

- صلابة الزنبرك K_C الذي يصل كتلة السائل الحمليه بجدار الخزان :

$$k_c = m_c \frac{g}{R} 1.84 \tanh \frac{1.84h}{R} \quad (6)$$

- منسوب توضع الكتلة الحمليه عن أرضية الخزان : h_c

$$h_c = \left[1 - \frac{\text{Cosh}(1.84h/R) - 1}{(1.84h/R)\text{Sinh}(1.84h/R)} \right] h \quad (7)$$

- منسوب توضع الكتلة الدفعية عن أرضية الخزان : h_i

$$h_i = \frac{3}{8}h \quad (8)$$

في هذه العلاقات :

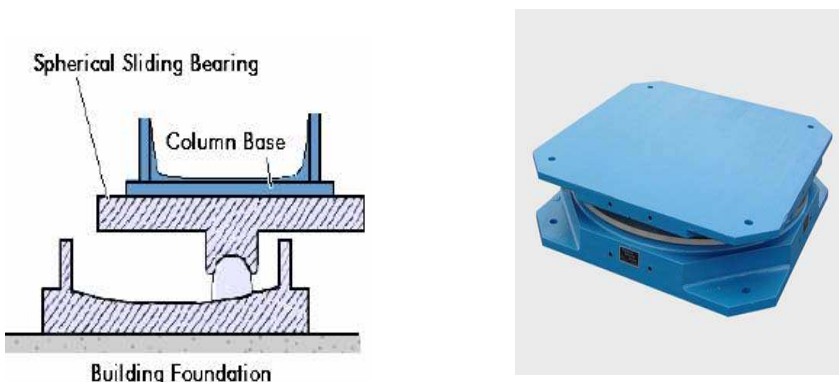
m_w - الكتلة الكلية للسائل المخزن في الحوض ، R - نصف قطر حوض الخزان

h - ارتفاع الشريحة المائية في الخزان ، g - تسارع الجاذبية الأرضية

3- عازل البندول الاحتكمي: (FPS)

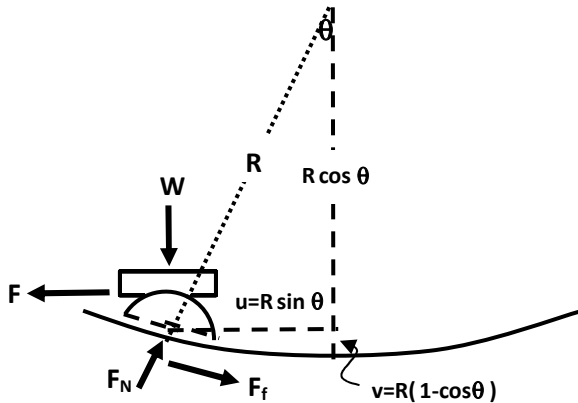
يتكون عازل البندول الاحتكمي من شريحة مغطاة بالتقلون (PTFE) منزلاقة على سطح كروي من المعدن المصقول كما في الشكل (2).

تتميز مساند هذا العازل بخصائص متعددة جعلته يلبي متطلبات العزل لمختلف الأنبياء والمنشآت الخاصة [12] ذكر منها : قيم دور الاهتزاز لهذا العازل تتراوح ما بين (1 → 5 Sec)، قدرة تحمل الحمولات الشاقولية التي تصل إلى (133440 KN)، الانتقال الأفقي المسموح لهذا العازل (60 inch)، قيم معامل الاحتكاك له تتراوح من (20 → 20%) و كذلك نسبة تخادم هذا العازل تقدر بـ (10 → 40%).



(a)- عازل البندول الاحتكمي
الشكل (2) - عازل البندول الاحتكمي
(b) - مقطع في العازل

تولد قوة الإرجاع النظام العزل هذا من خلال الانتقال على السطح الكروي ، و يتم تبديد الطاقة عن طريق الاحتكاك . تكون القوة المسببة لانتقال المسند من : قوة الإرجاع F_r و قوة الاحتكاك F_f كما هو موضح بالشكل (3) الذي يمثل مخطط الجسم الطليق لـ (FPS).



الشكل (3) : مخطط الجسم الطليق لعزل البندول الاحتكاكى

اعتماداً على مبدأ التوازن نجد أن القوة الأفقية الجانبية F تساوى :

$$F = F_r + F_f \quad (9)$$

من الشكل (3) نجد أن هذه القوة تساوى :

$$F = W \tan \theta + \frac{F_f}{\cos \theta} \quad (10)$$

حيث : W - الوزن المنقول عبر المسند
يتم تصميم عازل FPS بشكل عام لأجل انتقال $R < 0.2$ حيث θ تكون صغيرة [13 ، 15] وذلك بهدف تخفيف خطأ حالة التمثيل اللاخطي و لتخفيف القوى المتنولة في العناصر الإنسانية الحاملة للمنشأ في هذه الحالة:

$$\sin \theta = \theta - \frac{\theta^3}{3!} + \dots \approx \theta , \quad (11)$$

$$\cos \theta = 1 - \frac{\theta^2}{2!} + \dots \approx 1$$

ولدينا :

$$\tan \theta = \theta = \frac{u}{R \cos \theta} \approx \frac{u}{R} \quad (12)$$

$$F_N = \frac{W}{\cos \theta} \approx W \quad (13)$$

- مركبة الانتقال الأفقية ، $u = R \sin \theta$ مركبة الانتقال الشاقولية

تعطى قوة الاحتكاك F_f بالصيغة التالية [14] :

$$F_f = \mu \cdot F_N \operatorname{sgn}(\dot{u}) \quad (14)$$

في هذه الصيغة :

μ - معامل الاحتكاك ، F_N - القوة الناظمة ، \dot{u} - سرعة الحركة ،
 sgn - تابع Signum و يأخذ القيمتين +1 و -1 تبعاً لقيمة السرعة هل هي موجبة أم سالبة على الترتيب
 القوة الأفقية الكلية في العازل بعد تبديل (12) ، (13) و (14) في (10) تصبح [13]

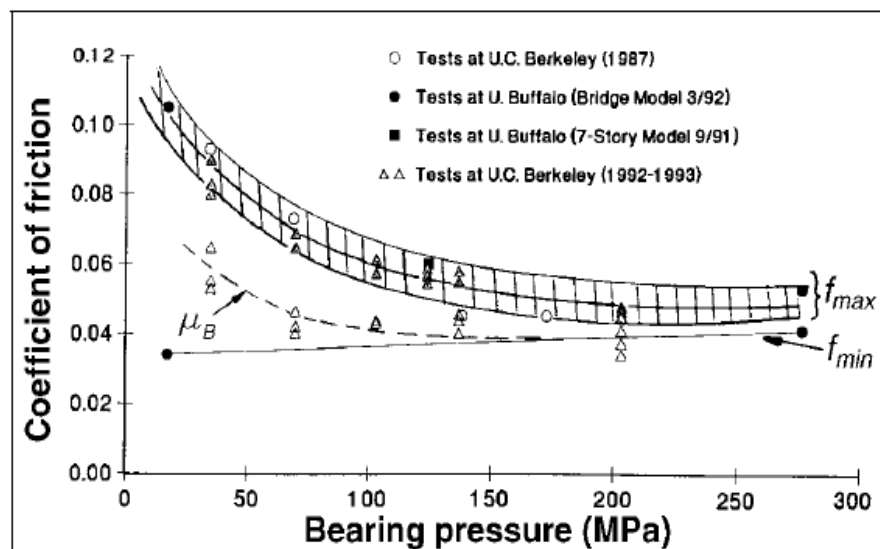
$$F = \frac{W}{R} u + \mu W \cdot \operatorname{sgn}(\dot{u}) \quad (15)$$

إن قوة الاحتكاك المترولة على سطح الانزلاق تتعلق بـ : القوة المركزية ، قوة ضغط المسند ، اتجاه و قيمة سرعة الانزلاق و خصائص سطح الانزلاق . تمت دراسة خصائص الاحتكاك للقلون مع السطح الفولاذى المصقول من قبل العالم Constantinou (1990) حيث اقترح العلاقة التالية لتحديد قيمة معامل الاحتكاك الديناميكى [14]

$$\mu_s = f_{\max} - (f_{\max} - f_{\min}) \exp^{-a|\dot{u}|} \quad (16)$$

حيث : μ_s - معامل الاحتكاك بالانزلاق . \dot{u} - سرعة الانزلاق

f_{\max} ، f_{\min} - معاملات الاحتكاك الموقوف للسرعات المنخفضة و العالية على الترتيب
 a - معامل تحدد قيمته وفقاً لقيمة الضغط على المسند و لسرعة الانزلاق
 يوضح الشكل (4) قيمة معامل الاحتكاك بالعلاقة مع الضغط المطبق على المسند .



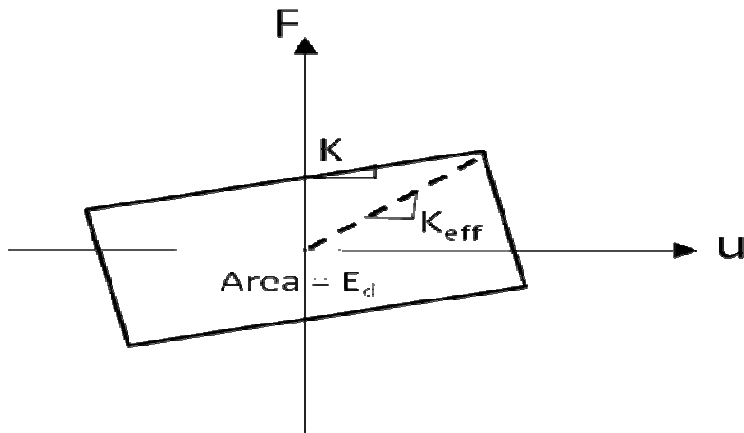
الشكل (4) - قيم معامل الاحتكاك لمساند FPS بالعلاقة مع الضغط المطبق

الصلابة الفعالة K_{eff} و التخادم الفعال γ لعازل البندول الاحتكاكي الموافقين للانتقال u [15] :

$$K_{eff} = \frac{F}{u} = \frac{W}{R} + \frac{\mu W}{u} \quad (17)$$

$$\zeta_{\text{eff}} = \frac{E_d}{4 \pi E_s} = \frac{4\mu W u}{4\pi(0.5K_{\text{eff}} u^2)} = \frac{2\mu R}{\pi(\mu R + u)} \quad (18)$$

في هذه الصيغة $E_s = 0.5K_{\text{eff}} u^2$ مساحة الحلقة التخلفية (الشكل 5) و $E_d = 4\mu W u$



الشكل (5) – الحلقة التخلفية لتمثيل عازل البندول الاحتكاكى

تحسب الصلابة الشاقولية لنظام العزل وفق الصيغة [12] :

$$K_v = \frac{W}{g} \cdot \left(\frac{2\pi}{T_v} \right)^2 \quad (19)$$

في هذه العلاقة : W - وزن المنشأ ، T_v - دور الاهتزاز الشاقولي للعزل و يؤخذ مساوياً 0.03 sec إن دور الاهتزاز الحر لنظام العزل المدروس مستقل عن وزن المنشأ المعزول W و يتعلق بنصف قطر التقرع للعزل R كما هو وارد بالصيغة التالية : [13 , 12]

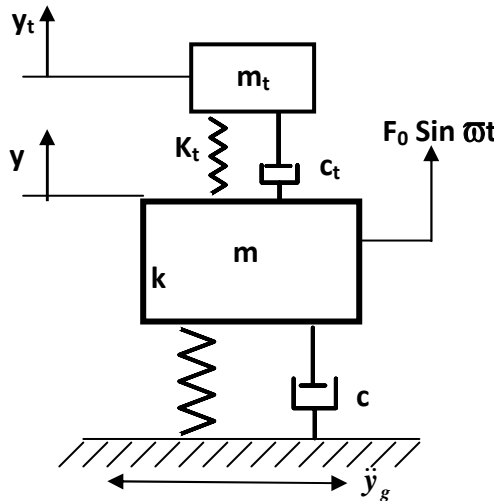
$$T = 2\pi \sqrt{\frac{M}{K}} = 2\pi \sqrt{\frac{W}{gK}} = 2\pi \sqrt{\frac{R}{g}} \quad (20)$$

حيث : $M = \frac{W}{g}$ - كتلة المنشأ ، و $K = \frac{W}{R}$ - الصلابة الجانبية لغازل البندول الاحتكاكى و الناتجة خلال الحركة النوسية على السطح المقرر

4- محمد الكتلة المنسجمة: (TMD)

إن محمد الكتلة المنسجمة عبارة عن جملة جزئية اهتزازية تعلق بالمنشأ الرئيس بعنصر ذو صلاية مناسبة بهدف تخفيض الاستجابة الديناميكية بطريقة مثبتة دون أن يؤثر كثيراً في البنية الإنسانية للجملة المدروسة . يتصف محمد الكتلة المنسجمة بكتلته ، بطينته و نسب تخامده . يمكن تمثيل TMD بجملة زنيرك - كتلة و محمد معلم من

جهة واحدة بالمنشأ الرئيس ، و يفضل أن تتوضع الجملة المضافة هذه عند نقطة محددة بدلاً من أن تكون موزعة على قسم من المنشآ . وهذا الميزة تجعل طريقة إخماد الاهتزاز ذات مفعول تراجمي مناسب .
لأجل النموذج ذات درجتي الحرية لجملة مهتزة مزودة بـ **TMD** خاضع لتأثير قوة تواقيعية $F(t) = F_0 \sin \omega t$ أو لتسارع أرضي y_g كما في الشكل (6) .



الشكل (6) – نموذج ذات كتلتين ممتعدين مزود بجملة TMD

يمكن أن نكتب المعادلات الحاكمة للحركة بالشكل التالي [17, 16] :

$$m\ddot{y} + c\dot{y} + ky + c_t(\dot{y} - \dot{y}_t) + k_t(y - y_t) = F_0 \sin \omega t \quad (21)$$

$$m_t\ddot{y}_t + c_t(\dot{y}_t - \dot{y}) + k_t(y_t - y) = 0 \quad (22)$$

حيث : m و k – كتلة ، صلابة و تخادم الجملة الرئيسية على الترتيب ، ω - تردد القوة المحرضة
 c و c_t – كتلة ، صلابة و تخادم مخدّد الكتلة المنسجمة (TMD)

أما إذا افترضنا أن الجملة السابقة معرضة لتسارع أرضي y_g ناجم عن هزة أرضية عندها ستخضع الكتلة m
لانتقال نسبي $y - y_g = u$ و تكون معادلات الحركة كالتالي :

$$m\ddot{y} + c(\dot{y} - \dot{y}_g) + k(y - y_g) + c_t(\dot{y} - \dot{y}_t) + k_t(y - y_t) = 0 \quad (23)$$

$$m_t\ddot{y}_t + c_t(\dot{y}_t - \dot{y}) + k_t(y_t - y) = 0 \quad (24)$$

يمكن كتابة العلاقات (21) و (22) بالصيغة المصفوفية :

$$\begin{bmatrix} m & 0 \\ 0 & m_t \end{bmatrix} \begin{bmatrix} \ddot{y} \\ \ddot{y}_t \end{bmatrix} + \begin{bmatrix} c + c_t & -c_t \\ -c_t & c_t \end{bmatrix} \begin{bmatrix} \dot{y} \\ \dot{y}_t \end{bmatrix} + \begin{bmatrix} k + k_t & -k_t \\ -k_t & k_t \end{bmatrix} \begin{bmatrix} y \\ y_t \end{bmatrix} = \begin{bmatrix} F_0 \sin \omega t \\ 0 \end{bmatrix} \quad (25)$$

يمكن إعطاء التحرير بصيغة أكثر عمومية بحيث يكون مؤلفاً من قسم حقيقي و قسم تخيلي :

$$F(t) = F_0 e^{i \omega t} \quad (26)$$

بفرض أن حل الحالة المستمرة لمعادلتي الحركة (21) و (22) هو من الشكل :

$$\begin{bmatrix} \mathbf{y} \\ \mathbf{y}_t \end{bmatrix} = \begin{bmatrix} \mathbf{Y} \\ \mathbf{Y}_t \end{bmatrix} e^{i\bar{\omega}t} \quad (27)$$

و بالتالي المشتق الأول و الثاني بالنسبة للزمن هو:

$$\begin{bmatrix} \dot{\mathbf{y}} \\ \ddot{\mathbf{y}}_t \end{bmatrix} = i\bar{\omega}e^{i\bar{\omega}t} \begin{bmatrix} \mathbf{Y} \\ \mathbf{Y}_t \end{bmatrix}, \quad \begin{bmatrix} \ddot{\mathbf{y}} \\ \ddot{\mathbf{y}}_t \end{bmatrix} = -\bar{\omega}^2 e^{i\bar{\omega}t} \begin{bmatrix} \mathbf{Y} \\ \mathbf{Y}_t \end{bmatrix} \quad (28)$$

بتبديل المعادلات (27) و (28) في الصيغة المصفوفية (25) وبعد الاختصار على الحد المشترك $e^{i\bar{\omega}t}$ ينتج :

$$\begin{bmatrix} (-m\bar{\omega}^2 + k + k_t) + (c + c_t)i\bar{\omega} & -k_t - c_t i\bar{\omega} \\ -k_t - c_t i\bar{\omega} & (-m_t\bar{\omega}^2 + k_t) + c_t i\bar{\omega} \end{bmatrix} \begin{bmatrix} \mathbf{Y} \\ \mathbf{Y}_t \end{bmatrix} = \begin{bmatrix} \mathbf{F}_0 \\ \mathbf{0} \end{bmatrix} \quad (29)$$

باستخدام قاعدة كرامر (Cramer's rule) نحصل على السعات :

$$\mathbf{Y} = \frac{\begin{vmatrix} F_0 & -k_t - c_t \bar{\omega}i \\ 0 & -m_t \bar{\omega}^2 + k_t + c_t \bar{\omega}i \end{vmatrix}}{D} = \frac{-m_t \bar{\omega}^2 + k_t + c_t \bar{\omega}i}{D} F_0 \quad (30)$$

$$\mathbf{Y}_a = \frac{\begin{vmatrix} -m\bar{\omega}^2 + (c + c_t)\bar{\omega}i + k + k_t & F_0 \\ -c_t \bar{\omega}i - k_t & 0 \end{vmatrix}}{D} = \frac{k_t + c_t \bar{\omega}i}{D} F_0 \quad (31)$$

$$D = (-m\bar{\omega}^2 + (c + c_t)\bar{\omega}i + k + k_t)(-m_t\bar{\omega}^2 + c_t\bar{\omega}i + k_t) - (c_t\bar{\omega}i + k_t)^2$$

يتضح من العلاقات (30) و (31) أن الإزاحات تعتمد بشكل خطى على سعة القوة المحرضة . F_0 .
انقلالات الجملة الناجمة عن حالة الاهتزاز المستمر و العائدة للتحريض التوافقى ستكون [16]:

$$|Y(i\bar{\omega})| = \left| \frac{-m_t \bar{\omega}^2 + k_t + c_t \bar{\omega}i}{D(i\bar{\omega})} F_0 \right| \quad (32)$$

$$|Y_t(i\bar{\omega})| = \left| \frac{k_t + c_t \bar{\omega}i}{D(i\bar{\omega})} F_0 \right| \quad (33)$$

بهدف كتابة العلاقة (32) بالصيغة الأكثر ملائمة نعرف ما يلى :

$$\mu = \frac{m_t}{m} \quad \text{نسبة الكتلة :} \quad \omega = \sqrt{\frac{k}{m}} \quad , \quad \omega_t = \sqrt{\frac{k_t}{m_t}} \quad \text{الترددات الطبيعية:}$$

$$\alpha = \frac{c}{2m\omega} \quad , \quad \alpha_t = \frac{c_t}{2m_t\omega_t} \quad \text{نسب التحامد :} \quad \beta = \frac{\omega_t}{\omega} \quad , \quad r = \frac{\omega}{\omega_t} \quad \text{النسب الترددية :}$$

$$\text{الانتقال статистический للجملة الأساسية : } \mathbf{y}_{st} = \frac{\mathbf{F}_0}{\mathbf{k}} \quad \omega, \text{ التردد الفسي للقوة المحرضة :}$$

٤٠-٤٠- تردد الاهتزاز الحر للمنشأ ، تردد محمد الكتلة المنسجمة (TMD) على الترتيب بتبديل الصيغ السابقة في علاقه الانقال نجد [16]

$$\left| \frac{Y}{y_{st}} \right| (r) = \frac{\sqrt{(\beta^2 - r^2)^2 + (2\alpha r \beta)^2}}{\sqrt{[(r^2 - \beta^2)(1 - r^2) + \mu r^2 \beta^2 + 4\alpha r^2]^2 + [2\alpha \beta(r^2 + \mu r^2 - 1) + 2\alpha(r^2 - \beta^2)]^2}} \quad (34)$$

هذه العلاقة تحتوي على البارامترات الرئيسية ولا تتعلق بحجم محمد الكتلة المنسجمة TMD . بالتالي النتائج التي سيتم الحصول عليها بالعلاقة (34) ستكون عامة وستزودنا بمراجعة نوعية لمواصفات TMD . كما أن الطرف الأيسر للمعادلة (نسبة الانقال) يمكن تقسيمه على أنه معامل التضخيم الديناميكي ، حيث قيمة هذا المعامل تظهر كم مرة سعة الانقال الديناميكي أكبر من سعة الانقال стاتي .

إن التصميم الأمثل يتم بتحقيق الانسجام في نظام TMD بحيث تكون قيم الرنين عند ذات قيمة المقدار (magnitude value) ، وهذا يتحقق باختيار صلابة مثلى وتخادم أمثل لـ TMD [16]

$$\beta_{opt} = \frac{1}{1+\mu} \quad (35)$$

$$\alpha_{t_{opt}} = \sqrt{\frac{3\mu}{8(1+\mu)}} \quad (36)$$

تشير العلاقة (35) إلى أن رنين يحدث دائماً عند تردد منخفض أقل من التردد الطبيعي للجملة الأساسية (المدروسة) . لأجل النسب العملية للكتلة من $15\% \rightarrow 1$ حيث النسب الأعلى من ذلك يجعل الهدف الرئيسي من استخدام TMD يتلاشى ، فإن النسبة التردية المثلث تترواح بين $0.87 - 0.99$ و نسبة التخادم المثلث تكون ضمن المجال $6 - 22\%$.

تقم المراجع [17 , 18 , 19] أيضاً العلاقات المثلث لنسبة التردد β_{opt} و نسبة التخادم $\alpha_{t_{opt}}$ لنظام TMD بالشكل :

$$\beta_{opt} = \frac{1}{1+\mu} \left(1 - \alpha \sqrt{\frac{\mu}{1+\mu}} \right) \quad (37)$$

$$\alpha_{t_{opt}} = \frac{\alpha}{1+\mu} + \sqrt{\frac{\mu}{1+\mu}} \quad (38)$$

لأجل التطبيقات العملية من الضروري الحصول على صلابة مثلى لنظام TMD و التي سنرمز لها بـ $k_{t_{opt}}$ ومعامل تخادم أمثل $c_{t_{opt}}$. هذان البارامتران يمكن اشتقاقهما باستخدام β_{opt} و $\alpha_{t_{opt}}$ [18 , 17] :

$$k_{t_{opt}} = m_t \omega^2 \beta_{t_{opt}}^2 = \frac{m_t \omega^2}{(1+\mu)^2} \left(1 - \frac{\alpha}{1+\mu} \sqrt{\frac{\mu}{1+\mu}} \right)^2 \quad (39)$$

$$c_{t_{opt}} = 2m_t \omega \beta_{opt} \alpha_{t_{opt}} = \frac{2m_t \omega}{1+\mu} \left(1 - \alpha \sqrt{\frac{\mu}{1+\mu}} \right) \left(\frac{\alpha}{1+\mu} - \sqrt{\frac{\mu}{1+\mu}} \right) \quad (40)$$

يقترح المرجع [20] أن تكون النسبة بين صلابة الرابط المرن (k_t) الحامل للكتلة المخمدة و بين الكتلة المخمدة (m_t) تساوي إلى مربع التردد القسري لقاعدة المنشأ المدروساً . حيث في هذه الحالة سيعين المنشأ المدروساً في حال حدوث الرنين بناءً عن الاهتزازات و ستحدث الاهتزازات رنينية في نظام TMD .

النتائج والمناقشة

كتطبيق عملي سنقوم بتجهيز الاستجابة الديناميكية المتمثلة بقيم الإزاحات النسبية عند القمة وقيم قوى القص عند مستوى القاعدة وعزم الانحناء عند قاعدة خزان ماء على دائري الشكل من الخرسانة المسلحة (الشكل 7) سعته 400 m^3 تحت تأثير أحمال الزلازل، و ذلك بمساعدة البرنامج الهندسي SAP 2000 قبل عزله زلزالياً بغاز البندول الاحتكاكى (FPS) وبمحمد الكتلة المنسجمة (TMD) وبعد ارتفاع الخزان 34.45 m ، نصف قطر الداخلي للخوض 5 m ، ارتفاع الخوض 11.75 m ، الارتفاع الوسطي للشريحة المائية 8.1 m ، عامل مرنة بيتون الإنشاء $E = 2.97 \cdot 10^7 \text{ kN/m}^2$.

فمنا بنذرية الخزان بالشكل الفراغي وأجرينا له التحليل الديناميكي وفق طيف استجابة تم تصميمه اعتماداً على المعاملات الزلزالية التالية: معامل المنطقة الزلزالية $Z = 3.0$ ، نموذج مقطع تربة التأسيس S_D ، المعاملين $C_v = 0.54$ ، $C_a = 0.36$ (الشكل 8) وذلك للحالات التالية : حالة الخزان فارغ ، حالة الخزان فارغ بعد عزله زلزالياً بغاز البندول الاحتكاكى (FPS) وبمحمد الكتلة المنسجمة (TMD) ، حالة الخزان مليء ، حالة الخزان مليء بعد عزله زلزالياً بغاز البندول الاحتكاكى (FPS) وبمحمد الكتلة المنسجمة (TMD) . حيث أخذنا تفاعل السائل مع المنشأ وحسبنا الكتل المكافئة للسائل وارتفاعها عن قاعدة حوض الخزان وفق العلاقات (4 - 8) وكانت القيم كالتالي: كتلة الماء في حوض الخزان: $m_w = 648491.33 \text{ kg}$ ، الكتلة الحمليّة: $k_c = 454839.822 \text{ N/m}$ الكتلة الدفعية: $m_c = 126642.35 \text{ kg}$ ، صلابة الزبرك: $m_i = 477575 \text{ kg}$ ، على النحو الآتي: ارتفاع نقطة تركيز الكتلة الحمليّة ضمن الخوض: $h_c = 5.645 \text{ m}$ ، ارتفاع نقطة تركيز الكتلة الدفعية ضمن الخوض: $h_i = 3.04 \text{ m}$.

- تصميم نظام العزل : FPS

- الصلابة الأولية للغازل : $u_y = 2.5 \text{ mm}$
- الصلابة الفعالة بالاتجاه الشاقولي علاقة (19) : 5785924 kN/m
- الصلابة الفعالة بالاتجاه الأفقي علاقة (17) : 1137.571 kN/m
- معامل الاحتكاك الأصغرى والأعظمى : 0.09 ، 0.06
- نصف قطر النقر : $R = 1.5 \text{ m}$

- تصميم نظام TMD :

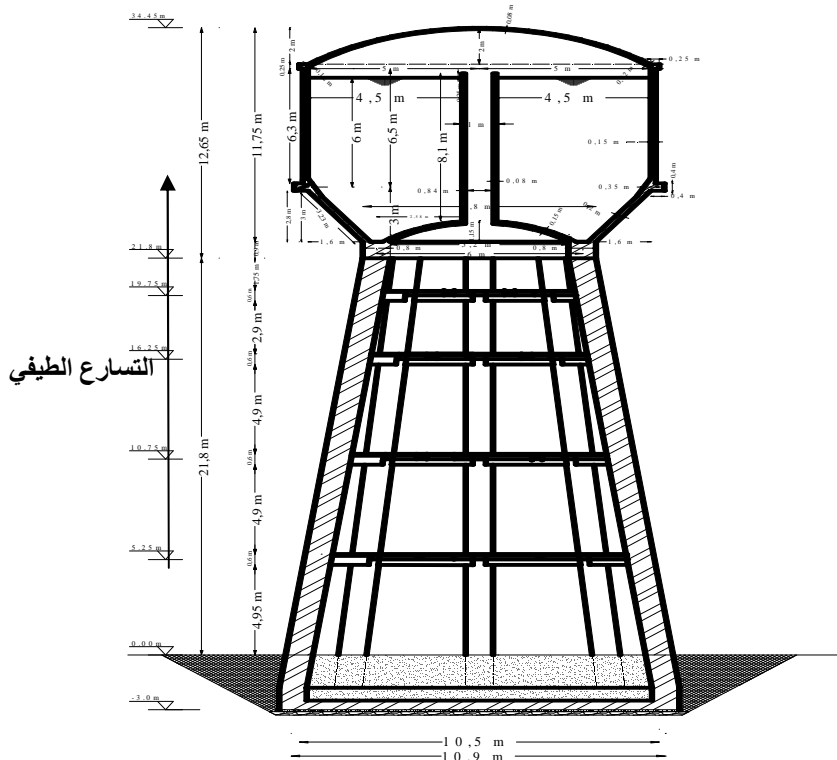
تم تصميم نظام محمد الكتلة المنسجمة لحالة الخزان فارغ و مليء و ذلك بأخذ قيمتين لنسبة الكتلة:

$$\mu = 0.10 \Rightarrow m_t = 0.10m , \mu = 0.05 \Rightarrow m_t = 0.05m$$

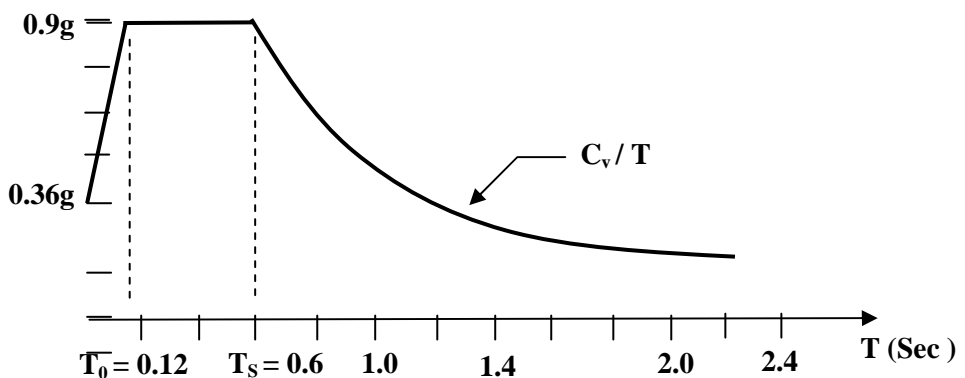
حالة الخزان فارغ : $\mu = 5\%$

$$\begin{aligned} & \text{- كتلة الخزان : } m = \frac{W}{g} = \frac{6852}{9.81} = 698.47 \text{ kN} \cdot \text{Sec}^2 / \text{m} \\ & \text{- كتلة المحمد : } m_t = 0.05 \cdot 698.47 = 34.92 \approx 35 \text{ kN} \cdot \text{Sec}^2 / \text{m} \\ & \text{- نسبة التردد المثلثي : } \beta_{opt} = \frac{1}{1+0.05} = 0.952 \\ & \text{- نسبة التخادم المثلثي : } \alpha_{t, opt} = \sqrt{\frac{3 \cdot 0.05}{8(1+0.05)}} = 0.134 \\ & \text{- الصلابة المثلثية : } \text{لزبنة رك الكتلة} \end{aligned}$$

$$k_{t, opt} = m_t \omega^2 \beta_{t, opt}^2 = 35 \cdot (11.619)^2 \cdot (0.952)^2 = 4282.32 \text{ kN / m}$$



الشكل (7) : مقطع رأسى في هيكل الخزان العالى



الشكل (8) : طيف الاستجابة التصميمي

- حالة الخزان فارغ : $\mu = 10\%$:

- كتلة الخزان : $m = 698.47 \text{ kN} \cdot \text{Sec}^2/\text{m}$

- كتلة المحمد : $m_t = 0.10 \cdot 698.47 = 69.85 \text{ kN} \cdot \text{Sec}^2/\text{m}$

- نسبة التردد المثلثي : $\beta_{opt} = \frac{1}{1+0.10} = 0.91$

$$\alpha_{t_{opt}} = \sqrt{\frac{3 \cdot 0.10}{8(1+0.10)}} = 0.184$$

- الصلابة المثلث لزنبرك كتلة المحمد : $k_{t_{opt}} = 69.85 \cdot (11.619)^2 \cdot (0.91)^2 = 7808.84 \text{ kN/m}$

بذات الآلية تم حساب المعاملات الخاصة بالخزان مليء فكانت النتائج كما يلي :

- حالة الخزان مليء : $\mu = 5\%$

- كتلة الخزان : $m_t = 65.13 \text{ kN} \cdot \text{Sec}^2/\text{m}$ ، كتلة المحمد : $m_t = 1302.68 \text{ kN} \cdot \text{Sec}^2/\text{m}$

- نسبة التردد المثلثي : $\alpha_{t_{opt}} = 0.952$ ، $\beta_{opt} = 0.952$ ، نسبة التحادم المثلثي : $\alpha_t = 0.134$

- الصلابة المثلث لزنبرك كتلة المحمد : $k_{t_{opt}} = 65.13 \cdot (2.573)^2 \cdot (0.952)^2 = 390.78 \text{ kN/m}$

- حالة الخزان مليء : $\mu = 10\%$

- كتلة الخزان : $m_t = 130.27 \text{ kN} \cdot \text{Sec}^2/\text{m}$ ، كتلة المحمد : $m_t = 1302.68 \text{ kN} \cdot \text{Sec}^2/\text{m}$

- نسبة التردد المثلثي : $\alpha_{t_{opt}} = 0.184$ ، $\beta_{opt} = 0.910$ ، نسبة التحادم المثلثي : $\alpha_t = 0.184$

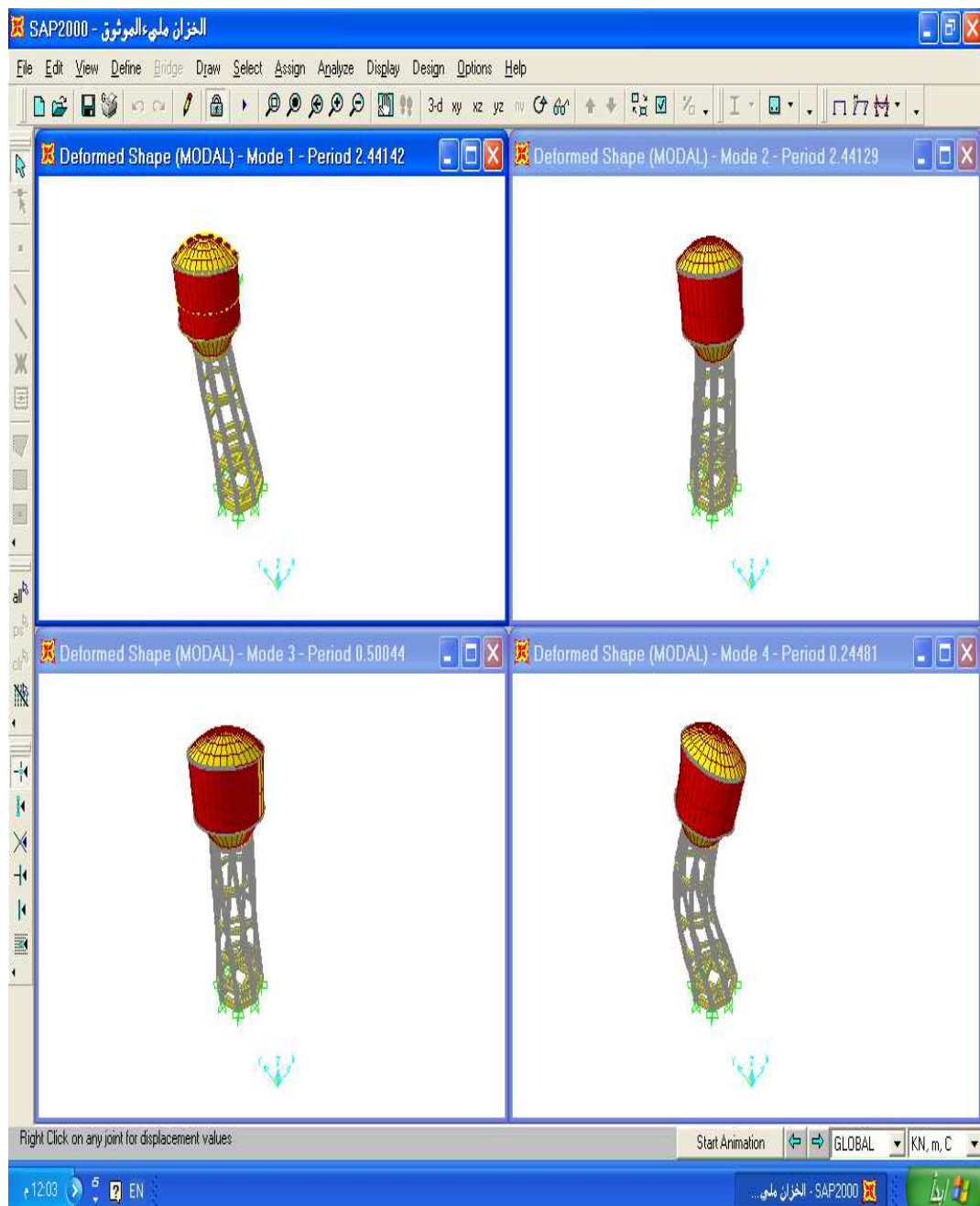
- الصلابة المثلث لزنبرك كتلة المحمد : $k_{t_{opt}} = 130.27 \cdot (2.573)^2 \cdot (0.910)^2 = 714.16 \text{ kN/m}$

فمنا بإضافة نظام TMD إلى قمة الخزان وأعدنا التحليل الديناميكي للحالتين المذكورتين .
نتائج التحليل الديناميكي للخزان المدروس قبل العزل وبعد مبنية بالجدول (1) .

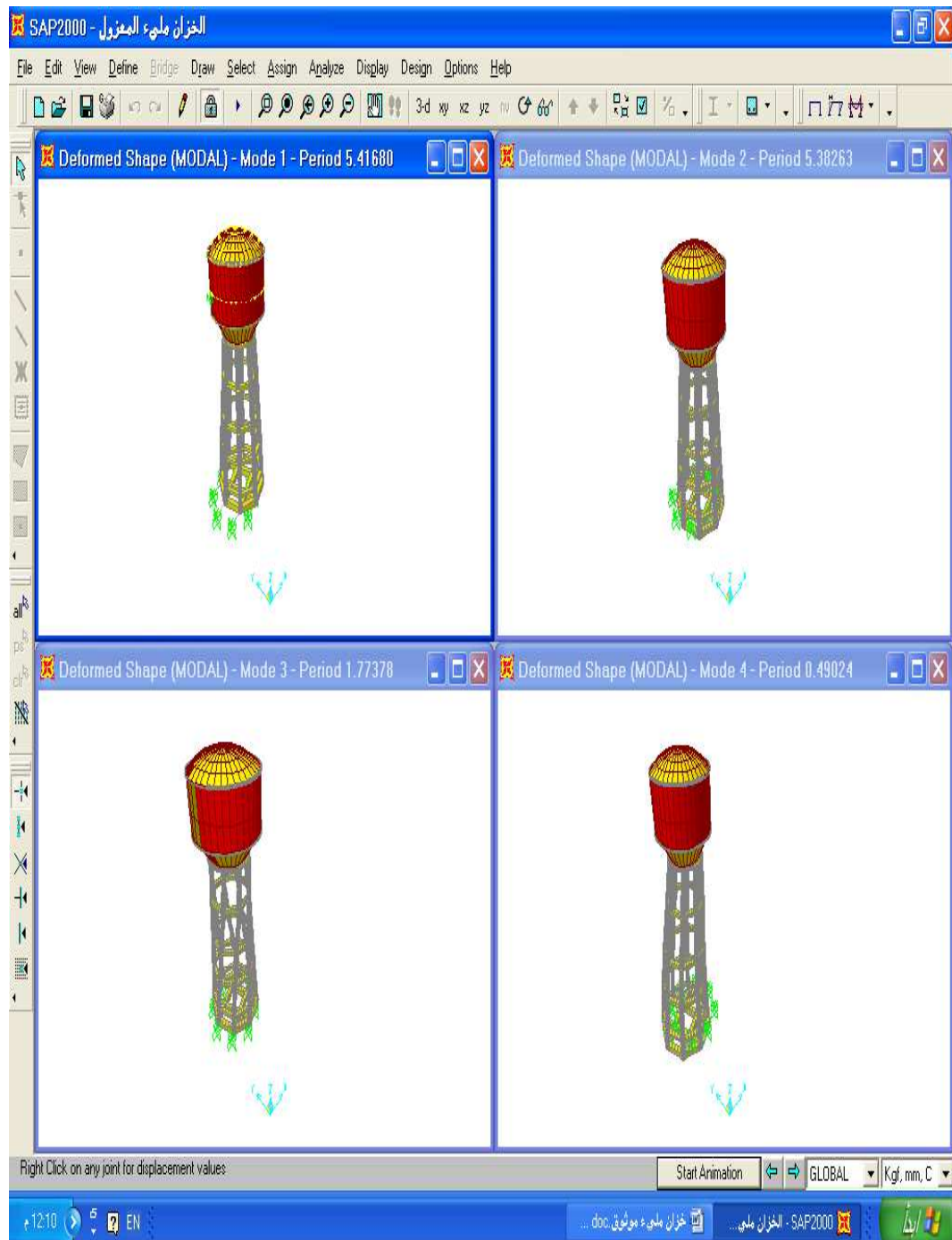
الجدول (1) قيم الاستجابة الناتجة عن التحليل الديناميكي للخزان المدروس

عزوم الانحناء (kN . m)		القص عند مستوى القاعدة (kN)		الإزاحات (m)		دور الاهتزاز (Sec)	
(y)	(x)	(y)	(x)	(y)	(x)		
83884.33	83929.17	3695.24	3688.88	0.066	0.066	0.541	الخزان فارغ و مثبت بالقاعدة
32905.76	32897.23	2284.10	2283.73	0.227	0.227	1.617	الخزان فارغ و معزول بنظام FPS
79069.19	79571.54	3431.99	3369.21	0.061	0.061	2.183	الخزان فارغ و معزول بنظام $\mu=5\%$ ، TMD
92723.49	86835.08	3492.13	3505.05	0.069	0.069	2.579	الخزان فارغ و معزول بنظام $\mu=10\%$ ، TMD
387857.25	387884.66	13818.08	13815.30	0.304	0.304	2.441	الخزان مليء و مثبت بالقاعدة
174612.82	177335.46	6535.78	6414.45	0.719	0.706	5.416	الخزان مليء و معزول بنظام FPS
321583.02	381977.05	13640.58	11490.61	0.30	0.252	8.217	الخزان مليء و معزول بنظام $\mu=5\%$ ، TMD
317536.88	378315.18	13523.28	11355.20	0.296	0.248	8.753	الخزان مليء و معزول بنظام $\mu=10\%$ ، TMD

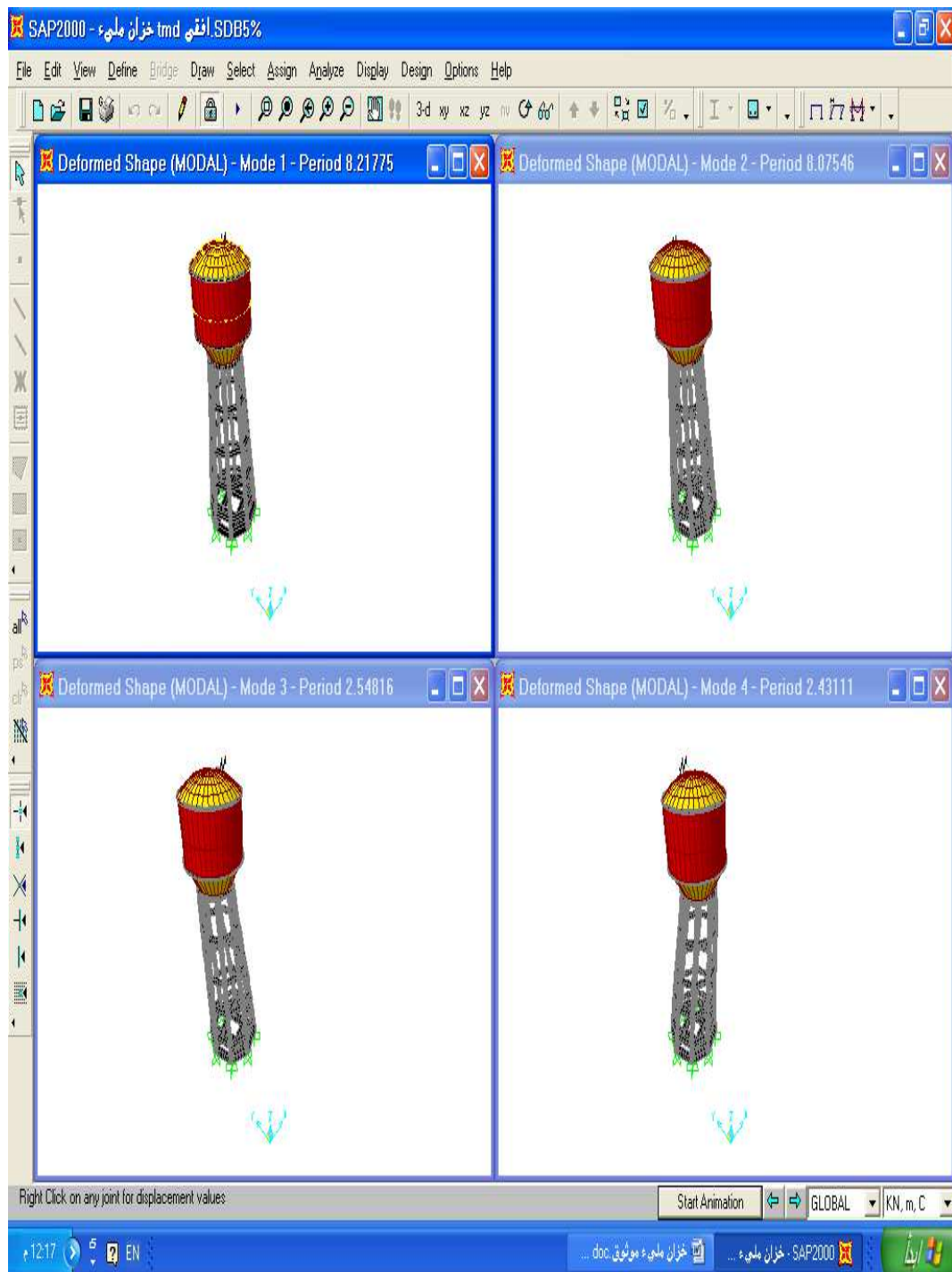
أنماط الاهتزاز الأولى لحالة الخزان مليء قبل عزله بنظام FPS و بنظام TMD و بعده معطاة بالأشكال (9 ، 10 ، 11)



الشكل (9) – الأنماط الأربع الأولى لحالة الخزان مليء ومثبت بالأرض



الشكل (10) – الأنماط الأربع الأولى لحالة الخزان مليء و معزول بنظام FPS



الشكل (11) – الأنماط الأربع الأولي لحالة الخزان مليء و معزول بنظام TMD

الاستنتاجات و التوصيات

- 1 - إن استخدام كلاً من نظامي العزل TMD و FPS قد ساهم في زيادة دور الاهتزاز لحاتي الخزان فارغ و مليء كما هو واضح من قيم الجدول (1) ، حيث كانت الزيادة الكبرى في قيمة الدور هي الموافقة لنظام TMD في حالة الخزان مليء و قد بلغت قيمته 8.753Sec و هذا يتوافق مع ما أوردناه في سياق البحث حول المركبة المحلية التي تساهم بها كثافة السائل التي تتعرض لحركة اضطرابية بدور اهتزاز يمكن أن يصل إلى 10 Sec
- 2 - أدى استخدام نظام العزل FPS إلى زيادة قيم الإزاحات المطلقة عند قمة الخزان لكن ما يعنينا في الدراسة هي قيم الإزاحات النسبية (بالنسبة إلى قاعدة الخزان) التي كانت صغيرة و محققة
- 3 - ساهم نظام العزل FPS في تخفيض قيم قوى القص عند مستوى القاعدة لحالة الخزان فارغ بنسبة 38% تقريباً في كل من الاتجاهين x و y بينما كانت نسبة التخفيض لحالة الخزان مليء بحدود 53% لكلٍ من الاتجاهين . أما نظام العزل TMD في حالة نسبة الكتلة 5% أدى إلى تخفيض قيمة القص عند مستوى القاعدة بنسبة 8.66% باتجاه x و 7.12% باتجاه y لحالة الخزان فارغ و لأجل نسبة الكتلة 10% انخفضت هذه النسبة إلى 5% تقريباً بالاتجاهين أما نسبة الكتلة 5% لحالة الخزان مليء أدت إلى تخفيض قوة القص عند مستوى القاعدة بنسبة وسطية 1.4% لكل اتجاه و ازدادت هذه النسبة لتصل إلى 17.8% باتجاه x و 13% باتجاه y
- 4 - أدى استخدام نظام العزل FPS إلى تخفيض قيم عزوم الانحناء عند قاعدة الخزان في اتجاه كلٍ من x و y بحدود 60.8% لحالة الخزان فارغ و هي بحدود 54% لحالة الخزان مليء . أما نظام TMD حيث نسبة الكتلة 5% فقد أدى إلى تخفيض عزوم الانحناء عند قاعدة الخزان فارغ بنسبة 5.5% ، و عند أخذ نسبة الكتلة 10% ازدادت العزوم بالاتجاهين لحالة الخزان فارغ ، أما بخصوص الخزان مليء فقد انخفضت قيم عزوم الانحناء عند قاعدته بنسبة 1.5% و بنسبة 2.4% الموافقتين لنسب الكتلة 5% و 10% على الترتيب بالاتجاه x، بينما بالاتجاه y كانت نسب التخفيض 17.08%، 18.13% بالعلاقة مع نسبة الكتلة المدروستين
- 5 - استناداً إلى نتائج الدراسة السابقة نجد أن نظام العزل FPS أكثر فاعلية في تخفيض قيم الاستجابة من حالة استخدام نظام TMD لكن من الناحية التقنية و التنفيذية فإن النظام FPS أكثر كلفة و يحتاج إلى تقنيات خاصة بالتنفيذ بعكس حالة النظام TMD الذي هو أقل كلفة و أسهل من الناحية التنفيذية هذا من جهة و من جهة أخرى حتى يتم الحكم بدقة أكثر على قدرة النظام TMD في تخفيض قيم الاستجابة على هذا النوع من المنشآت الخاصة ننصح بإجراء دراسة على قيم مختلفة لنسبة الكتلة و لنسبة التخاذم، و بالتالي لنسبة صلابة زنبرك الكتلة المنسجمة
- 6 - إن هدف نظام العزل هو إطالة الدور الطبيعي لاهتزاز المنشأ و هذا سيؤدي إلى تخفيض قيم التسارع الزائف و وبالتالي القوى المتولدة في المنشأ من جراء الزلازل ، لكن هذا الأمر قد لا يفي بالغرض المطلوب في بعض الحالات النادرة و ذلك في حالة تأثير الزلازل ذات السجلات الزلزالية التي تبلغ قيم الذروة فيها بعد فترة زمنية طويلة نسبياً قد يكون بحدود 2 Sec أو أكثر كما في حالة زلزال Mexico City عام 1985 حيث بلغ الزلزال تسارعه الأعظمي عن Sec 2 نظراً لخاصية التربة المحلية، فعند إطالة دور المنشأ إلى هذه القيمة ستفقد المحيطون نتيجة توافق دور المنشأ مع دور الاستجابة العظمى ، لذلك يوصي البحث بدراسة خصائص تربة التأسيس و العوامل المؤثرة على تضخيم الحركات الزلزالية في الموقع قبل اختيار نظام العزل المناسب للمنشأ المدروس .

المراجع العلمية

- 1 – JAISWAL, O .R, RAI,D.C, JAIN,M.S. *Review of Seismic Codes on Liquid-Containing Tanks*, Earthquake Spectra, Vol. 23,No.1,2007, 239-260
- 2- SAP 2000, *Integrated Software for Structural Analysis & Design Computers and Structures Inc*, Berkeley, CA, 2004,790.
- 3 – LIVAOGLU, R, DOGANGUN, A. *Simplified seismic analysis procedures for elevated tanks considering fluid-structure-soil interaction*, Journal of Fluids and Structures,Vol.22, 2006, 421-439.

- 4– LIVAOGLU, R. *Investigation of seismic behavior of fluid-rectangular tank-soil foundation systems in frequency domain*, Journal of Soil Dynamics and Earthquake Engineering, Vol. 28, 2008, 132-146.
- 5 – ASCE 7 – *Minimum Design Load for Building and Other Structures*, American Society of Civil Engineers, Reston, Virginia, USA, 2005, 560.
- 6 - JAISWAL, O.R, JAIN, S.K. *Guidelines for Seismic Design of Liquid Storage Tanks*, Indian Institute of Technology Kanpur, India, Report No IITK-GSDMA-EQ-08,2007
- 7 –RAI, D.C. *Seismic retrofitting of R/C shaft support of elevated tanks*, Earthquake Spectra. Vol.18, 2002, 745-760.
- 8 – ACI 371R-98, *American Concrete Institute*, Guide to the Analysis Design and Construction of Concrete-pedestal Water Tower, 1995, 345.
- 9 – SEZEN, H, LIVAOGLU, R, *Dynamic analysis and seismic performance evaluation of above-ground liquid-containing tanks*, Engineering Structures,Vol.30,2008, 794-803.
- 10 – EUROCODE -8 -*Design of Structures for Earthquake Resistance*, Part 4, Silos , Tanks, and Pipelines ,Final PT Draft .European Committee for Standardization, 2003.
- 11 – MALHOTRA, P.K., WENK,T.,WEILAND, M. *Simple procedure of seismic analysis of liquid-storage tanks*, Journal of Structural Engineering International ,IABSE, Vol..10, N°. 3 , 2000, 197-201.
- 12–Earthquake Protection Systems (EPS), *Friction Pendulum Seismic Isolation Bearing*, 2008, 15 October, 2008.
<http://www.earthquake protection.com>.
- 13 – BARROSO,L. R. *Performance Evaluation of Vibration Controlled Steel structures Under Seismic Loading*, 2006 , 15 March, 2009,.
<http://ceprofstamu.edu/ibarroso/research/papers/THESIS.PDF>
- 14 -PRANESH, M., SINHA, R. *VFPI: an isolation device for a seismic design*, Journal of Earthquake Engineering And Structural Dynamics, U.S.A.Vol.29, N°. 5, 2000, 603-627.
- 15 – FEMA 451,Instructional Material Complementing, Design Examples, 2006
- 16 – LIEDES, T. *Improving the Performance of the Semi-Active Tuned Mass Damper*, Academic dissertation ,Faculty of Technology of the University .of Oulu,2009, 150.
- 17 -CHEY, M .H., CARR, A .J., CHASE, J.G *Resetable Tuned Mass Damper and its application to isolated stories building system*,14th World Conference on Earthquake Engineering, Beijing, China , 2008, 420-428.
- 18 - CHEY, M .H., Carr, A .J., Chase, J.G *Design of Semi-Active Tuned Mass Damper Building Systems using Resetable Devices*, 8th Pacific Conference on Earthquake Engineering ‘Singapore, 2006, 351-360.
- 19– JULIO, C .M .*On tuned mass dampers for reducing the seismic response of structures*, Earthquake Engineering and Structural Dynamics ‘Vol. 34, 2005, 847–865
- 20 – PAPOF, N.N, ZABERAЕF, A.F. - *Computation and Designing of the Concrete and Masonry Structures*, SSSR Moscow, 1989, 400.